

## 一様流中の物体に作用する流体力

広島県庁	正員	赤不 建夫
三菱重工プラント	正員	清木 克彦
山口大学	正員	溝地 政文
山口大学	正員	齋藤 隆

流体中に設置された物体には、抗力、揚力、ならびに回転力が作用する。それらの力を評価することは、工学上重要である。本研究では、昨年発表の角柱にひきつづき、構造物に使用されている部材の簡単なモデルとして、アングルヒチャーネルを使用した。(ただし、紙数の都合上、アングルヒチャーネルに話を(う)る。)また、本研究では、物体の形と回転力に特に着目して実験したものである。

間隔10cmの平行板間に空気流中にモデルを、流体力測定用の直径7mmのしんらう棒で設置した。流体力は、しんらう棒上に貼付されたひずみゲージを用いて測定された。モデルの長さは4cmであり、上下端に、床面上のえりすき渦の効果を軽減させるため、長さ3cmのダミーの部材が設置されている。実験は、レイノルズ数 $Re$ (=  $uD/\nu$ ,  $u$ は流速,  $D$ は部材の辺長,  $\nu$ は動粘性係数)と部材設置角度 $\theta$ を変えて、行なわれた。部材設置角度の定義と流体力測定部の概略を、図1, 2に示す。

抗力 $F_D$ 、揚力 $F_L$ 、回転力 $F_T$ の各流体力係数 $C_D$ 、 $C_L$ 、 $C_T$ は、各流体力を、流速 $u$ 、流下方向の射影面積、辺長、密度で無次元化したものである。 $C_D$ とレインノルズ数の関係を図3に、 $C_D$ と $\theta$ の関係を図4に示す。 $C_D$ の値は、 $\theta = 45^\circ$ を中心にして対称な分布をしている。また、 $-45^\circ \leq \theta \leq 135^\circ$ では値が大きく、それ以外の場合は小さい。これは前者の場合はアングルの開口部が上側側に向っており、部材と後流域の幅の広がりが鈍頭物体のような効果をもち、後者の場合は開口部が下流側を向く、流線型に近いためと考えられる。次に、 $C_L$ と $Re$ 、 $C_L$ と $\theta$ の関係を、それぞれ図5、6に示す。 $C_L$ の値は $\theta = 45^\circ$ を中心に対称的な分布をしている。また、 $-45^\circ \leq \theta \leq 135^\circ$ か否かで値の大きさが異なる。また $C_T$ に関しては同様の傾向が、図7、8に示してある。

次に全成流体力 $F_s$ (= $F_D^2 + F_L^2$ )の作用点と支持点との距離 $r_s$ を、式

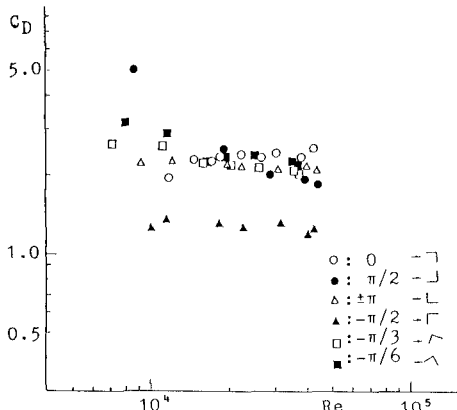
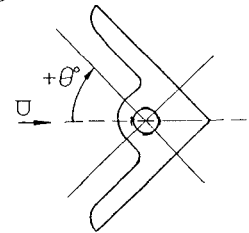
図3.  $C_D$ と $Re$ の関係

図1. 部材設置角度の定義

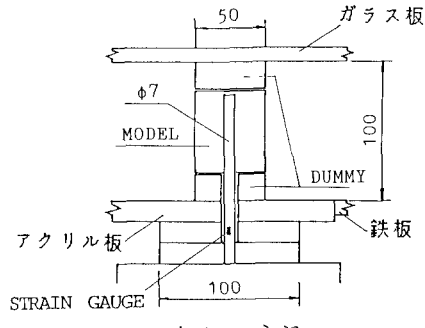
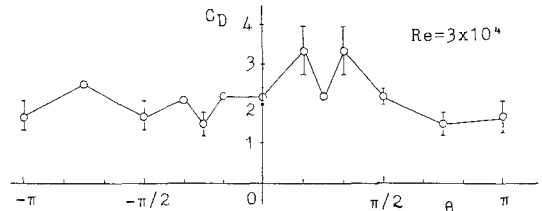


図2. 流体力測定部

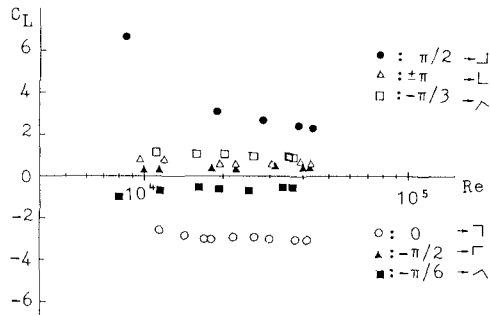
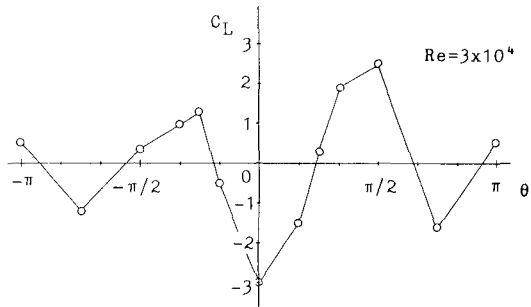
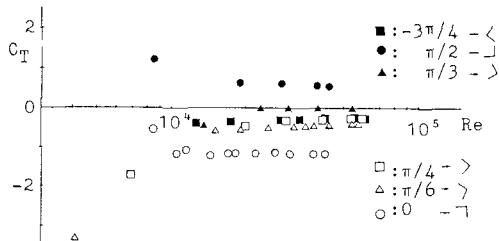
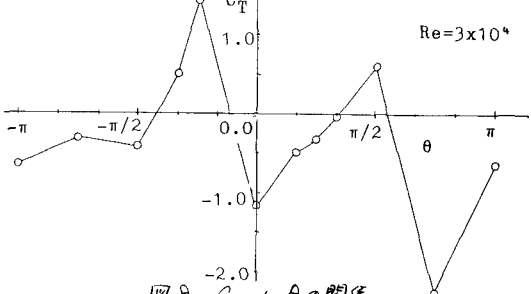
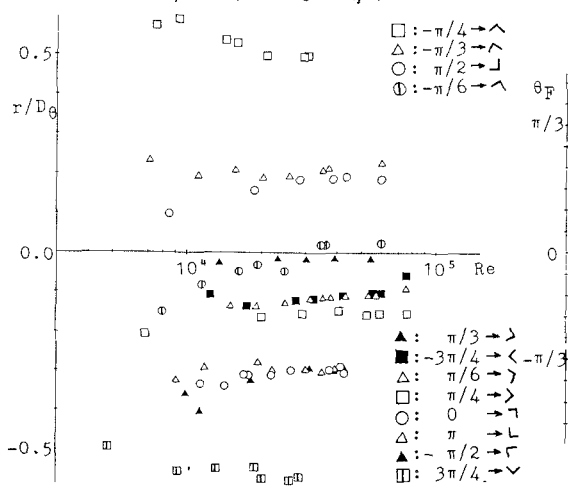
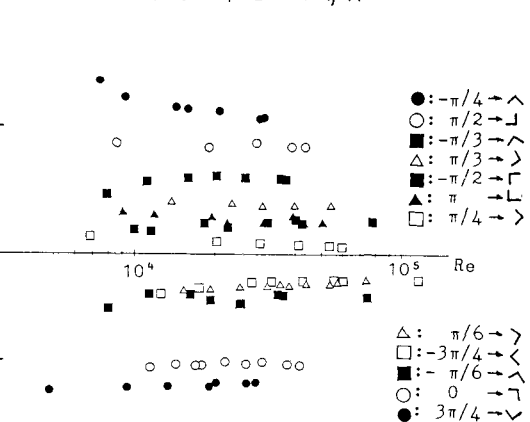
図4.  $C_D$ と $\theta$ の関係

$$\gamma = F_T / F_s$$

で求めた。図9に  $r/D_\theta$  と  $Re$  の関係を示す。ここで、 $D_\theta$  は断面積の流下方向への射影値である。図からレイノルズ数が小さいほど  $r/D_\theta$  の値が大きい傾向があることがわかる。そのため、レイノルズ数は小さくなる場合、合成流体かは小さくても回転力が無視できなくなる。最後に、 $F_s$  の作用方向  $\theta_F$  を次式で求めた。

$$\theta_F = \tan^{-1}(F_L / F_\theta).$$

$\theta_F$  と  $Re$  の関係を図10に示す。本研究と並行して行われた研究で、円柱のカルマン渦による場合は、 $\theta_F$  は角度であることが求められている。しかしながら、物体の形によつては、揚力が卓越してきて、今回の場合は  $\theta_F$  が  $50^\circ$  と見えることがあることわかる。

図5.  $C_L$  と  $Re$  の関係図6.  $C_L$  と  $\theta$  の関係図7.  $C_T$  と  $Re$  の関係図8.  $C_T$  と  $\theta$  の関係図9.  $r/D_\theta$  と  $Re$  の関係図10.  $\theta_F$  と  $Re$  の関係